

BANCO NACIONAL DE LÍNEAS CELULARES (TRONCALES)
National Bank of Stem Cell Lines

IMPRESO DE SOLICITUD DE REGISTRO Y DEPÓSITO DE UNA LÍNEA iPS HUMANA
Application Form to Register and Deposit of an human iPS cell line

FECHA: 12.06.2018

DOCUMENTOS QUE DEBEN ACOMPAÑAR LA SOLICITUD:

Attached documents:

- Copia de la autorización del proyecto en el cual se genera la línea celular, junto con informe favorable del Comité Ético del centro de procedencia.**
A copy of the project authorization in which the cell line is obtained along with a favourable report of the Clinical Research Ethics Committee

Copia de cualquier publicación científica relacionada con la línea iPS generada.
A copy of any relevant published scientific papers related to the iPS cell line generated

C. V. del investigador principal (una página; formato libre).
A one page CV for the Principal Investigator

SECCIÓN 1-INFORMACIÓN DE LA MUESTRA ORIGINAL Y DE LA iPS GENERADA.

Section 1-Information of the original cell line and the generated iPS

| | |
|---|--|
| Nombre de la línea iPS <i>Name of the iPS line:</i> | DUPSW FiPS 701-R4F-6 |
| Muestra original donada. Detallar tipo de célula, tejido de origen y localización anatómica de la muestra biológica de la que se obtiene la línea original. Si son células comerciales, detallar nombre, referencia y distribuidor comercial <i>Original sample donated.</i> <i>Detail cell type, tissue of origin and anatomic location of the biological sample from which the original line is obtained.</i> <i>If cells are commercial, detail name, reference and trade distributor.</i> | Fibroblastos de dermis procedentes de biopsia de piel. <i>Dermal fibroblasts from skin biopsy.</i> |
| Sexo y edad del donante. <i>Sex and age of the donor</i> | Masculino, 4 años Male, 4 years |
| ¿El donante tiene alguna patología? <i>Has the donor any pathological condition?</i> | NO <input type="checkbox"/> No SÍ <input checked="" type="checkbox"/> (especificar) Yes (specify) Autismo Autism |
| ¿La patología es de origen genético? <i>Is the pathological condition of genetic origin?</i> | NO <input type="checkbox"/> No SÍ <input checked="" type="checkbox"/> (especificar) Yes (specify) duplicación 7 duplication of 7q11.23 |

| | | |
|---|--|--|
| Muestra biológica recibida <i>Biological sample</i> | Fresco <input checked="" type="checkbox"/> <i>Fresh</i> | Crioconservado <input type="checkbox"/> <i>Cryopreserved</i> |
| Fecha de la donación de la muestra biológica <i>Date of donation of the biological sample</i> 15.11.2012 | Fecha del uso o descongelación (<i>si congelado</i>) <i>Date used or thawed (if frozen)</i> 16.11.2012 | |
| Condiciones de cultivo de las células de origen (células somáticas/cultivo primario). <i>Culture conditions of the original cells (somatic cells / primary culture)</i> | Medio de cultivo/ Culture media: IMDM + 10%FBS + 0,5% Penicilin-Streptomycin (Gibco, InVitrogen corporation). 37°C- 5%CO2 | |
| Identificación celular: Huella genética por análisis de microsatélites/STR de las células de origen <i>Cell Identity: Genetic fingerprinting by microsatellite analysis / STR of the original cells.</i> | Los marcadores de microsatélites de la muestra inicial de fibroblastos coinciden con los de la línea de iPS generada (Anexo 5) <i>Microsatellite markers of the initial fibroblasts sample are identical than the markers of the iPS line (Annex 5)</i> | |
| ¿Hay disponibilidad de viales congelados de las células de origen? ¿En qué pase? <i>Is there availability of frozen vials of original cells? At what passage?</i> | Si, 2 viales a p1 y 12 viales a p2 Yes, 2 vials at p1 y 12 vials at p2 | |
| Método utilizado en la generación de la línea iPSC. (Integrativa/ No-integrativa) Especificar factores y plásmidos de reprogramación utilizados. <i>Method used for the generation of iPSC line (Integrative / Non-integrative)</i> <i>Specify factors and plasmids used for reprogramming</i> | Generación de células de pluripotencia inducida (iPSC) a partir de los fibroblastos de un paciente (p4) que presentaba la duplicación 7q11.23 mediante la estrategia retroviral con expresión ectópica de 4 factores de transcripción (Oct4, Sox2, Klf4 y c-Myc). Mediante el uso de un plásmido retroviral (pMXs OCT4 VP16 SOX2-mOrange) y un constructo tricistrónico (pMXsKLF4 MYCGFP). <i>The induced pluripotent stem cells (iPSC) were generated from fibroblasts (p4) of a patient showing the 7q11.23 duplication, by the retroviral strategy with ectopic expression of 4 transcription factors (Oct4, Sox2, Klf4 y c-Myc), using the retroviral plasmid (pMXs OCT4 VP16 SOX2-mOrange) and a tricistronic constructor (pMXsKLF4 MYCGFP).</i> | |
| Condiciones de cultivo de la línea de iPSc generada. (si se describen en publicación, indicar referencia) <i>iPS Culture conditions (if they are described in a publication, please indicate the reference)</i> | Support: human foreskin fibroblasts (ATCC, American Type Culture Collection, CCL1112Sk). Culture medium: Knockout Dulbecco's modified Eagle's medium supplemented with 2 mmol/l GlutaMAX (Gibco, InVitrogen corporation), 0,05mmol/l 2-mercaptoethanol (Gibco, InVitrogen corporation), 10 ng/ml basic fibroblast growth factor (bFGF) (Invitrogen), 1% non-essential amino acids (Cambrex), 20% Knockout Serum Replacement (InVitrogen) y 0,5% Penicillin-Streptomycin (Gibco, InVitrogen corporation). Support: Matrigel (Corning BV) Culture medium: mTeSR Basal Medium Kit (StemCell Technologies) | |

| | |
|---|--|
| Descripción de las características morfológicas de la línea en cultivo (forma y tamaño colonias; forma y tamaño células; ratio núcleo/citoplasma;otros) <i>Description of the morphological characteristics of the line in culture (form and size of the colonies; form and size of the cells; nucleus/cytoplasm ratio; others)</i> | Colonias grandes poligonales, ligeramente aplanas, de un tamaño entre 1- 3 mm de diámetro de diversas formas con bordes lisos. Células de tamaño uniforme y una elevada relación núcleo/citoplasma. <i>Large and flat polygonal colonies, with uniformly sized cells of 1-3 mm of diameter. They have several forms and smooth edges. High nucleus/cytoplasm ratio.</i> |
| Criopreservación de la línea celular (Describir método de congelación/descongelación) <i>Cryopreservation of the cell line (Describe freezing / thawing method)</i> | La congelación de los clumps de colonias se ha realizado en FBS (90%) + DMSO(10%), mediante congelador programable (-0.5°C/min.) o mediante contenedor de isopropanol a -80°C (-1°C/min.). Los viales se han descongelado a 37°C mediante descongelación rápida. <i>The clumps of colonies were cryopreserved in FBS (90%)+ DMSO (10%), by programmable freezer (-0.5°C/min.) or by isopropanol container at -80°C (-1°C/min). Vials were thawed quickly at 37°C.</i> |
| Pase de la línea celular en el momento del banqueo/registro. (Máximo: Pase 15) <i>Passage at the time of the banking/registration (Max: Passage 15)</i> | Viales congelados a pases 3-12 Frozen vials at passages 3-12 |
| ¿Ha sido la línea modificada genéticamente? <i>Has the line been genetically modified?</i> Sí Yes <input type="checkbox"/> No No <input checked="" type="checkbox"/> | ¿Se llevó a cabo un análisis clonal? <i>Has a clonal analysis been carried out?</i> Sí/ Yes <input type="checkbox"/> No <input checked="" type="checkbox"/> Resultado / Result |
| Comentarios/ Comments: | |

SECCIÓN 2 RESULTADOS DE LA CARACTERIZACIÓN DE LA LÍNEA iPS. Adjuntar resultados (imágenes o gráficos) como anexo

Section 2 *iPS Cell Line characterization results. Attach results (images and graphics) as an annex*

| Test de pluripotencia <i>Pluripotency test</i> | Método <i>Method</i> | Nº pase <i>Passage n.</i> | Resultado <i>Results</i> | Comentarios <i>Comments</i> |
|---|---|-------------------------------------|------------------------------------|---------------------------------------|
| Anexo 1 <i>Annex 1</i> | Oct 4 inmunocitoq. | 11 | + | |
| | Nanog inmunocitoq. . | 11 | + | |
| | Sox 2 inmunocitoq. . | 11 | + | |
| | SSEA3 inmunocitoq. . | 11 | + | |
| | SSEA4 inmunocitoq. . | 11 | + | |
| | TRA-1-60 inmunocitoq. | 11 | + | |
| | TRA-1-81 inmunocitoq. . | 11 | + | |
| | Fosfatasa. Alk actividad. | 11 | + | |
| Test de diferenciación in vitro <i>In vitro differentiation test</i> | Comentarios <i>Method</i> | Método <i>Marker</i> | Nº pase <i>Passage n</i> | Resultado <i>Results</i> |
| | Ectodermo inmunocitoq. <i>Ectoderm</i> | Tuji1 | 13 | + |
| | Mesodermo inmunocitoq. <i>Mesoderm</i> | ASMA | 13 | + |
| | Endoderm inmunocitoq. <i>Endoderm</i> | AFP/FOXA2 | 14 | +/- |
| Descripción de las características de diferenciación <i>in vitro</i> <i>(espontánea/inducida)</i> <i>Description of the differentiation characteristics in vitro (spontaneous/induced)</i> | Mesodermo: cultivo de cuerpos embrioides (EBs) en medio de cultivo suplementado con ácido ascórbico. Endodermo: cultivo de cuerpos embrioides. Ectodermo: cultivo de cuerpos embrioides en medio N2/B27 (ver Anexo 2). <i>Mesoderm: Embryoid bodies (EBs) cultured in culture medium supplemented with ascorbic acid. Endoderm: EBs culture. Ectoderm: EBs culture in N2/ (see Annex 2).</i> | | | |

| Test de diferenciación in vivo <i>In vivo differentiation test</i> | Comentarios <i>Method</i> | Método <i>Method</i> | Marcador <i>Marker</i> | Nº pase <i>Passage n</i> | Resultado <i>Results</i> | Comments <i>Comments</i> |
|---|--|---|----------------------------------|------------------------------------|------------------------------------|------------------------------------|
| | | | | | | |
| | Ectodermo <i>Ectoderm</i> | inmunohist. | Tuj1-GFAP | 14 | +/- | |
| | Mesodermo <i>Mesoderm</i> | inmunohist. | ASMA-ASA | 14 | +/- | |
| | Endodermo <i>Endoderm</i> | inmunohist. | AFP-FOXA2 | 14 | +/- | |
| | | | | | | |
| | | Inyección intratesticular en ratones SCID de 4·10 mill de células indiferenciadas y tras 8 semanas, análisis de los teratomas producidos mediante técnicas de inmunohistoquímica para ectodermo, mesodermo y endodermo (Anexo 3). <i>4·10 mill of undifferentiated cells were injected into the testis of SCID mice. After 8 weeks, teratomas were analyzed by immunohistochemistry for ectoderm, endoderm and mesoderm (Annex 3).</i> | | | | |
| Cariotipo (especificar fórmula cariotípica y pase) <i>Karyotype (Specify karyotype formula and passage)</i> | 46, XY p15 | | | | | |
| Identificación celular: Huella genética por análisis de microsatélites/STR de la línea celular <i>Cell Identity: Genetic fingerprinting by microsatellite analysis / STR of the cell line</i> | Los marcadores de microsatélites de la muestra inicial de fibroblastos coinciden con los de la línea de iPS generada (Anexo 5) <i>Microsatellite markers of the initial fibroblasts sample are identical than the markers of the iPS line (Annex 5)</i> | | | | | |
| Test de integración (detallar método utilizado según tipo de reprogramación celular) <i>Integration Test (specify method depending on cell reprogramming)</i> | La PCR evidenció la integración de los 4 genes; Oct-4, Sox-2, Klf-4, c-Myc. <i>Integration of the 4 genes; Oct-4, Sox-2, Klf-4, c-Myc was shown by PCR (Annex 6)</i> | | | | | |

| | |
|---|--|
| Test de silenciamiento (detallar método utilizado según tipo de reprogramación celular) <i>Silencing Test (specify method used depending on cell reprogramming)</i> | Se evidenció el silenciamiento de los 4 genes de reprogramación: Oct-4, Sox-2, Klf-4, c-Myc mediante qRT-PCR (Anexo 6) <i>Silencing of reprogramming genes Oct-4, Sox-2, Klf-4, c-Myc has been shown by qRT-PCR (Annex 6)</i> |
| Confirmación del diagnóstico genotípico en las iPSC generadas a partir de muestras con mutación genética <i>Confirmation of genotypic diagnosis of the cell line generated from samples with genetic mutation</i> | Se presenta el detalle de la duplicación identificada en la banda 7q11.23 que coincide con la duplicación que presenta el paciente y que se ha descrito en la literatura como causante del Síndrome de la duplicación 7q11.23 (Anexo 7). <i>Duplication in the band 7q11.23 has shown. This duplication is identical to the one present in the patient and that has been described in literature as the cause of the Syndrome of duplication 7q11.23 (Annex 7).</i> |
| Test de micoplasma <i>Mycoplasma Test</i> | Negativo por PCR (Anexo 8) <i>Negative by PCR (Annex 8)</i> |

SECCIÓN 3

Section 3

DATOS DEL DEPOSITANTE

Applicant Details

| | |
|--|---|
| Investigador Principal: <i>Principal Investigator:</i> Anna Veiga | Dirección Postal: <i>Postal address:</i> Gran Via de l'Hospitalet 199. 08908 L'Hospitalet de Llobregat. Barcelona |
| Centro de Trabajo: <i>Institution:</i> Centro de Medicina Regenerativa de Barcelona | Teléfono (phone): 93 3160360 Fax: 93 31603601 E-mail: blc@cmrb.eu |

| | |
|---|--|
| Investigador Principal: <i>Principal Investigator:</i> Roser Corominas | Dirección Postal: <i>Postal address:</i> C/ Dr.Aiguader 88, lab 720, 08003 Barcelona |
| Centro de Trabajo: <i>Institution:</i> Universitat Pompeu Fabra | Teléfono (phone): +34 933 160 821 Fax: +34 933 160 901 E-mail: rosercorominas@gmail.com |

SECCIÓN 4
Section 4

INFORMACIÓN ADICIONAL (OPCIONAL)
Additional information (optional)

Otras observaciones o información relevantes (a juicio del Investigador Principal):
Other observations or relevant information (to the discretion of the Principal Investigator):

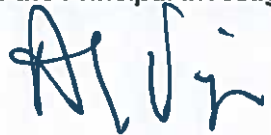
Otras observaciones o información relevantes (a llenar por el BNLC):
Other comments or relevant information (to be completed by BNLC)

Seguimiento de la línea (a llenar por el BNLC):
Follow up of the line (to be completed by BNLC)

SECCIÓN 5 DECLARACIÓN

Confirmo que la información contenida en estos impresos es cierta y asumo total responsabilidad sobre la misma.

I confirm that the information contained in this form is true and I assume total responsibility for it.

| | |
|---|---|
| <p>Firma en Representación del Centro / Signature in Representation of the Centre (Representante legal del Departamento/Centro) (Legal Representative of the Department/Centre)</p>  <p>Fecha/Date: 16/05/2018</p> | <p>Firma del Investigador Principal Signature of the Principal Investigator</p>  <p>Fecha/Date: 16. V. 18</p> |
| <p>Nombre y Cargo de la Persona Representante del Centro: Name and Position of the Person Representing the Centre: Angel Raya. Director</p> | |
| <p>Dirección Postal: Postal Address: Gran Vía de l'Hospitalet 199. 08908 L'Hospitalet de Llobregat. Barcelona</p> | <p>Teléfono /Telephone: 93 3160320 Fax: 93 3160301 E-mail: gerencia@cmrb.eu</p> |

| | |
|---|---|
| <p>Firma en Representación del Centro / Signature in Representation of the Centre (Representante legal del Departamento/Centro) (Legal Representative of the Department/Centre)</p>  <p>Fecha/ Date:</p> | <p>Firma del Investigador Principal Signature of the Principal Investigator</p>  <p>18/04/ 2018 Fecha /Date</p> |
| <p>Nombre y Cargo de la Persona Representante del Centro: Name and Position of the Person Representing the Centre: Enric Vallduví Botet. Vicerector. Direcció de projectes en l'àmbit de la Recerca, Universitat Pompeu Fabra</p> | |
| <p>Dirección Postal: Postal Address: Plaça de la Mercè, 10-12 08002 Barcelona</p> | <p>Teléfono /Telephone: 933160899 Fax: E-mail: vr.recerca@upf.edu</p> |



Centre de Medicina Regenerativa de Barcelona
Centro de Medicina Regenerativa de Barcelona
Center of Regenerative Medicine in Barcelona

ANEXOS A LA SOLICITUD DE DEPÓSITO DE LA LÍNEA CELULAR DUPSW FiPS701 R4F-6 EN EL BANCO NACIONAL DE LÍNEAS CELULARES

ANEXOS

Anexo 1: Fenotipo. Marcadores de pluripotencia

Anexo 2: Diferenciación *in vitro*

Anexo 3: Diferenciación *in vivo*

Anexo 4: Cariotipo

Anexo 5: Resultados microsatélites

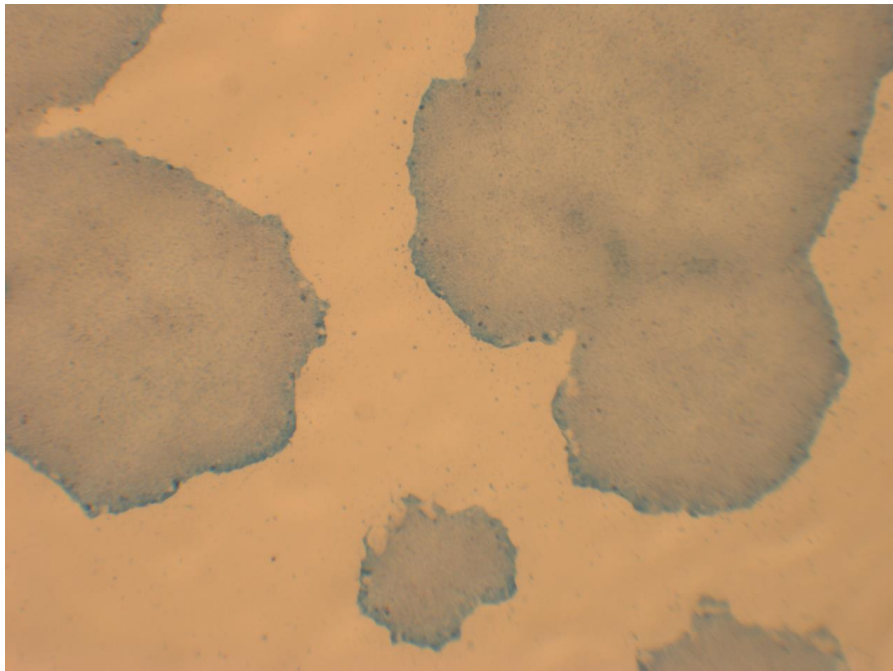
Anexo 6: Integración y silenciamiento de los transgenes de reprogramación

Anexo 7: Genotipado

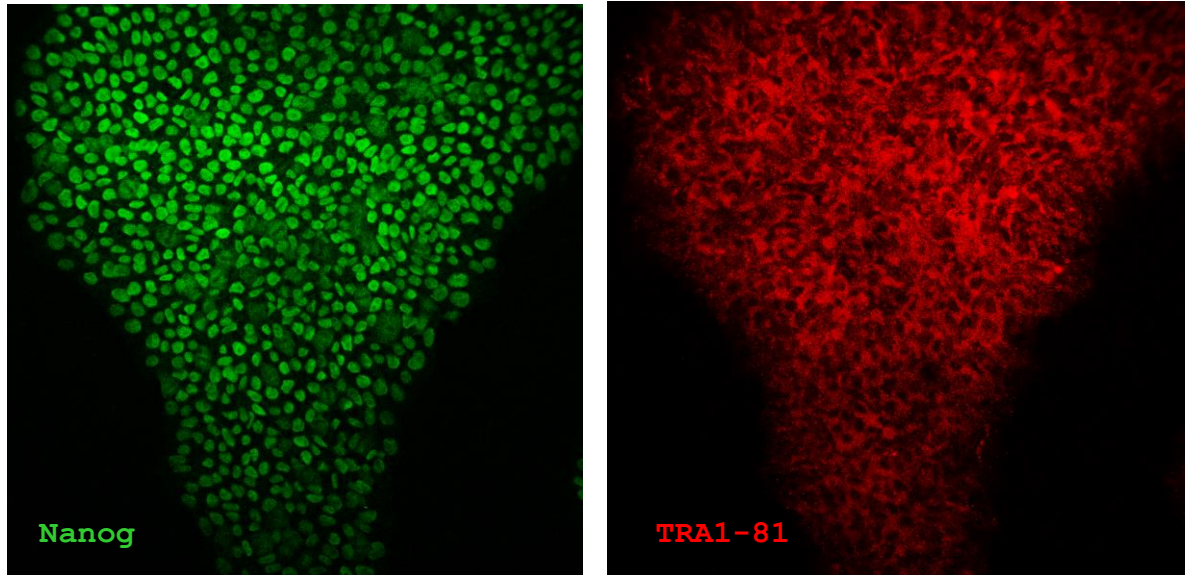
Anexo 8: Resultado Test de micoplasma

Anexo 1

Fenotipo. Marcadores de pluripotencia

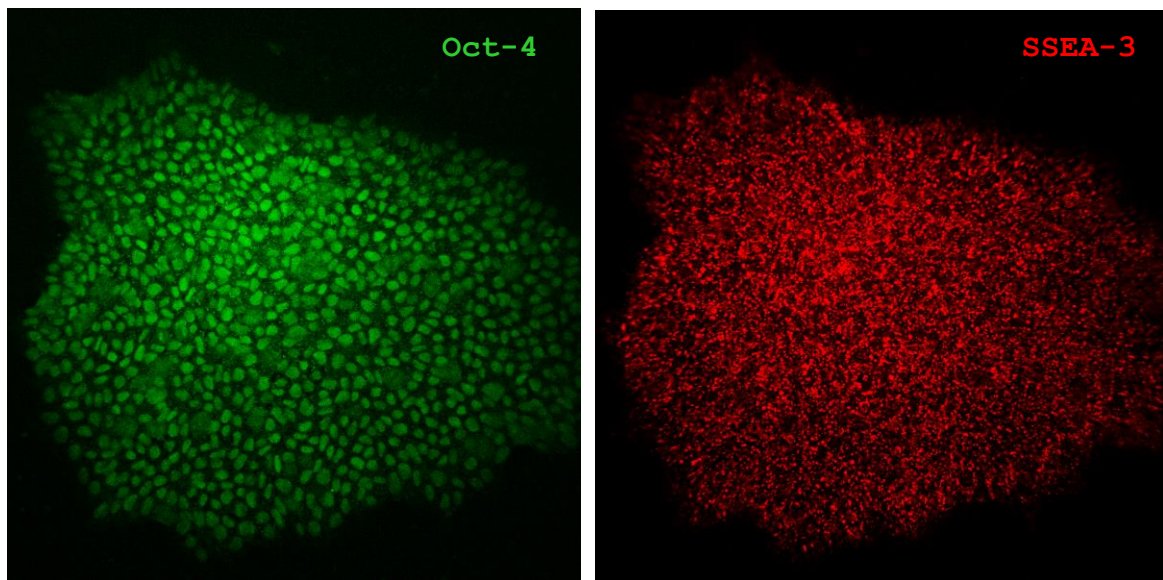


Actividad **fosfatasa alcalina** de la línea de células pluripotentes



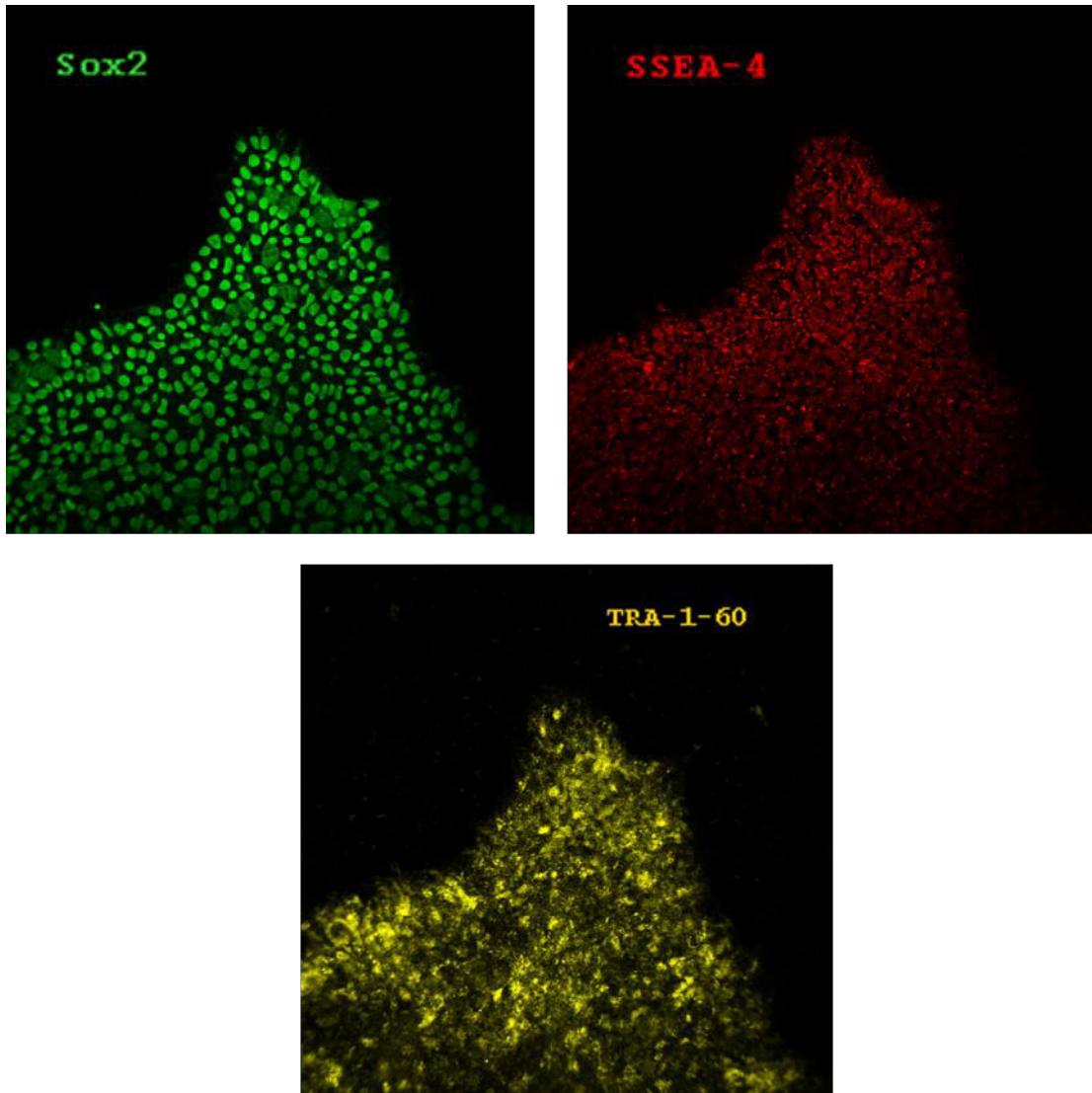
Resultado positivo por inmunocitoquímica para las proteínas de pluripotencia

Nanog y TRA1-81



Resultado positivo por inmunocitoquímica para las proteínas de pluripotencia

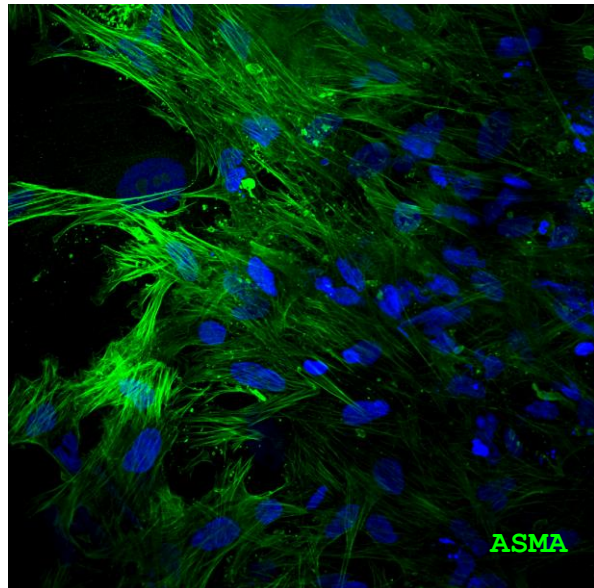
Oct-4 y SSEA-3



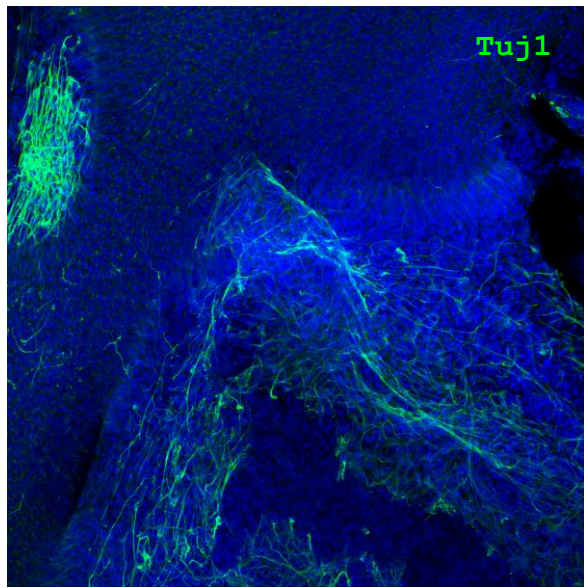
Resultado positivo por inmunocitoquímica para las proteínas de pluripotencia
Sox-2, SSEA-4 y TRA-1-60.

Anexo 2

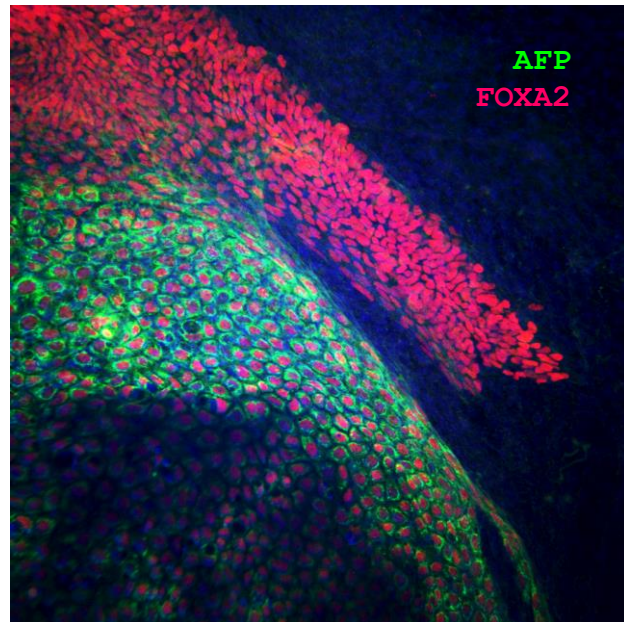
Diferenciación *in vitro*



Diferenciación *in vitro* a mesodermo: Células positivas para **ASMA**



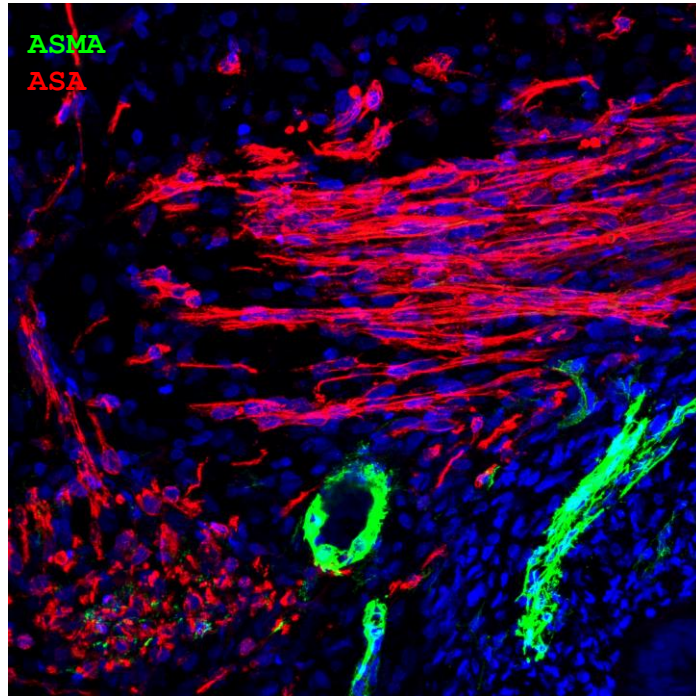
Diferenciación *in vitro* a ectodermo: Células positivas para **TuJ1**



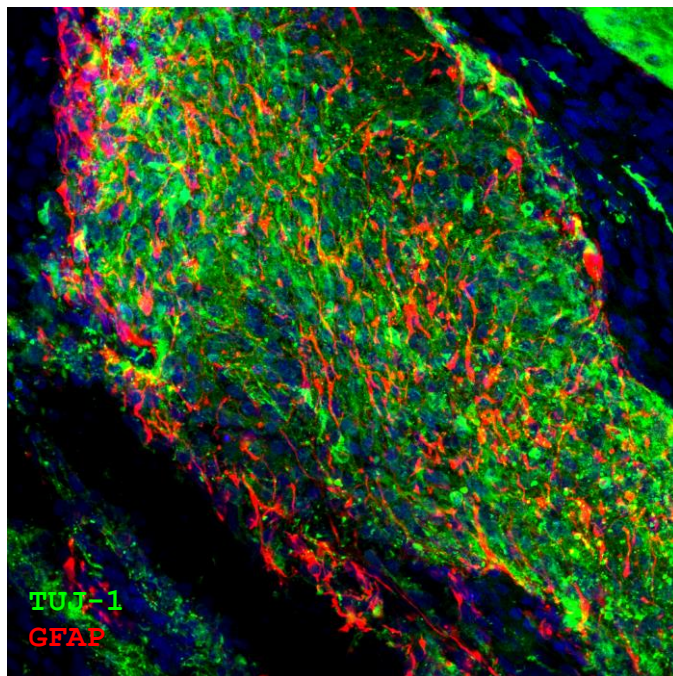
Diferenciación *in vitro* a endodermo: Células positivas para **AFP** y **FOXA2**.

Anexo 3

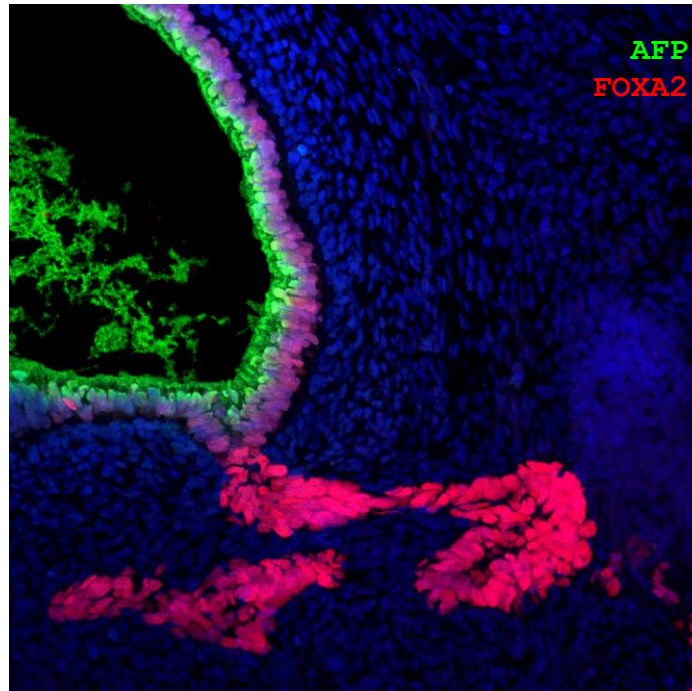
Diferenciación *in vivo*



Diferenciación *in vivo* a mesodermo: Células positivas para **ASMA** y **ASA**



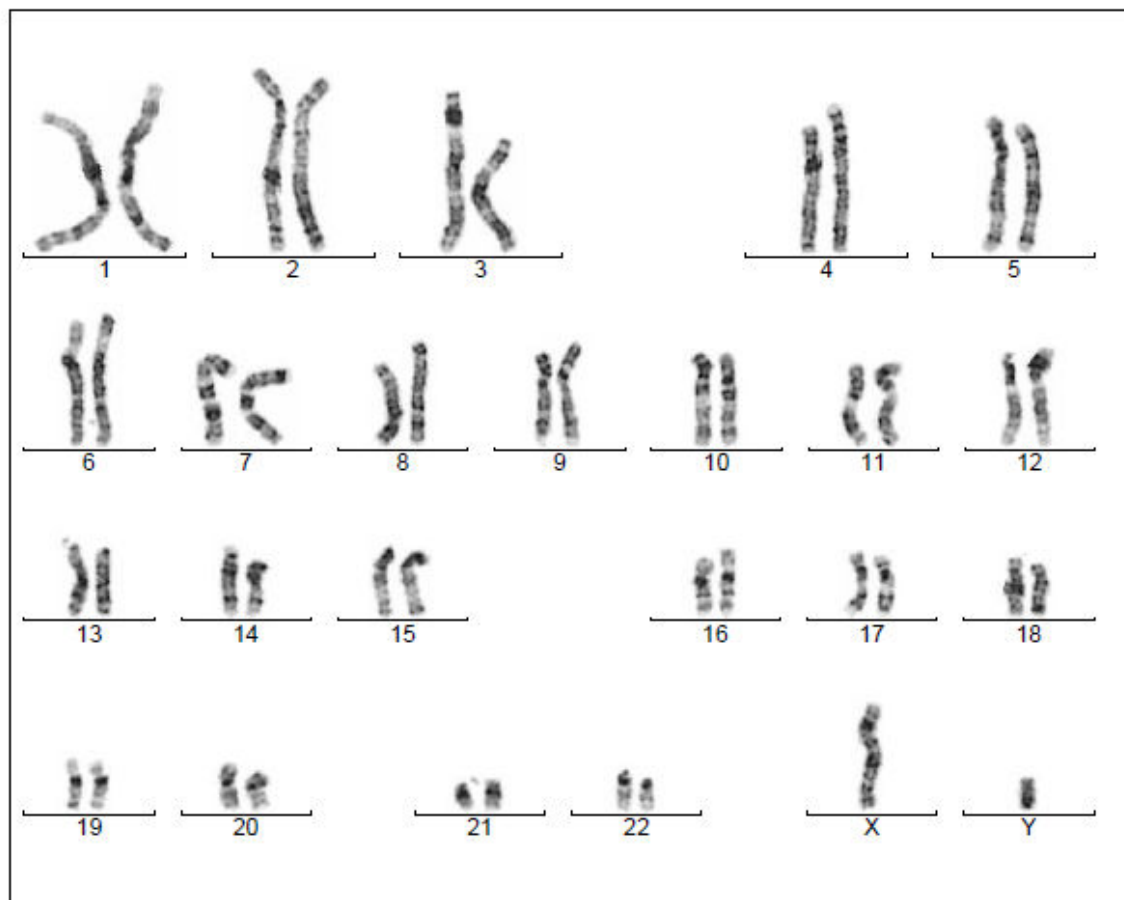
Diferenciación *in vivo* a ectodermo: Células positivas para **TUJ1** y **GFAP**.



Diferenciación in vivo a endodermo: Células positivas para **AFP** y **FOXA2**

Anexo 4 Cariotipo

Cytogenetic analysis



Case name: A181375

Patient name: DUPSW FiPS 701-R4F-6 p15

Specimen type: Stem cells

Result: 46,XY

Anexo 5

Resultado microsatélites

Table 5. The *GenePrint[®] 10 System* Allelic Ladder Information.

| STR Locus | Label | Size Range of Allelic Ladder Components ^{1,2} (bases) | Repeat Numbers of Allelic Ladder Components |
|------------|-------|--|--|
| TH01 | FL | 156–195 | 4–9, 9.3, 10–11, 13.3 |
| D21S11 | FL | 203–259 | 24, 24.2, 25, 25.2, 26–28, 28.2, 29, 29.2, 30, 30.2, 31, 31.2, 32, 32.2, 33, 33.2, 34, 34.2, 35, 35.2, 36–38 |
| D5S818 | JOE | 119–155 | 7–16 |
| D13S317 | JOE | 176–208 | 7–15 |
| D7S820 | JOE | 215–247 | 6–14 ³ |
| D16S539 | JOE | 264–304 | 5, 8–15 |
| CSF1PO | JOE | 321–357 | 6–15 |
| Amelogenin | TMR | 106, 112 | X, Y |
| vWA | TMR | 123–171 | 10–22 |
| TPOX | TMR | 262–290 | 6–13 |

¹The length of each allele in the allelic ladder has been confirmed by sequence analysis.

²When using an internal lane standard, such as the Internal Lane Standard 600, the calculated sizes of allelic ladder components may differ from those listed. This occurs because different sequences in allelic ladder and ILS components may cause differences in migration. The dye label also affects migration of alleles.

³HeLa cells have a microvariant allele 13.3 at the D13S317 locus. This will appear as an off-ladder allele (see www.cstl.nist.gov/strbase/var_D13S317.htm#Tri).

Figura 1. Información de la casa comercial Promega sobre la relación entre cada uno de los loci STR amplificados y las repeticiones (en rangos de tamaño y número) que pueden estar presentes en dichos productos de PCR.

RESULTADOS:

A continuación se detalla la correlación entre el código de muestra de Biobanco y la línea celular procesada:

| código Biobanco | Línea celular |
|-----------------|--------------------------|
| 32161598002 | DUPSW FiPS701 R4F-6, P13 |

En la tabla siguiente se muestran los resultados correspondientes a los alelos encontrados para cada uno de los marcadores microsatélites analizados.

| Línea celular | Locí STR analizados | | | | | | | | | |
|--------------------------|---------------------|--------|---------|---------|--------|--------|--------|------|--------|-----|
| | AMEL | CSF1PO | D13S317 | D16S539 | D21S11 | D5S818 | D7S820 | TH01 | TPOX | vWA |
| DUPSW FiPS701 R4F-6, P13 | X, Y | 10 | 9, 11 | 12, 13 | 28, 31 | 11, 12 | 9, 10 | 6, 9 | 10, 11 | 18 |

Granada, a 28 de Diciembre de 2016

Área de Biología Molecular
 Biobanco del SSPA

RESULTADOS:

A continuación se detalla la correlación entre el código de muestra de Biobanco y la línea celular procesada:

| código Biobanco | Línea celular |
|-----------------|---------------|
| 32161594002 | DUPSW 701 F |

En la tabla siguiente se muestran los resultados correspondientes a los alelos encontrados para cada uno de los marcadores microsatélites analizados.

| Línea celular | Locí STR analizados | | | | | | | | | |
|---------------|---------------------|--------|---------|---------|--------|--------|--------|------|--------|-----|
| | AMEL | CSF1PO | D13S317 | D16S539 | D21S11 | D5S818 | D7S820 | TH01 | TPOX | vWA |
| DUPSW 701 F | X, Y | 10 | 9, 11 | 12, 13 | 28, 31 | 11, 12 | 9, 10 | 6, 9 | 10, 11 | 18 |

Granada, a 28 de Diciembre de 2016



Área de Biología Molecular
Biobanco del SSPA

Análisis de microsatélites en la línea de hiPSC y en la línea de fibroblastos de la cual proceden.

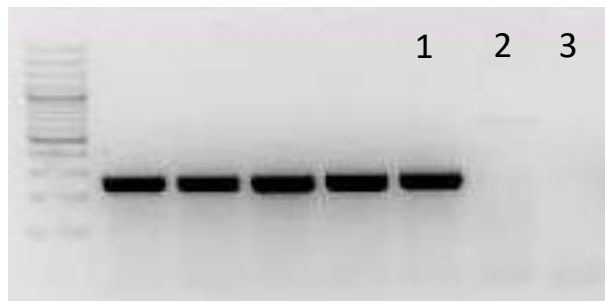
Anexo 6

Integración y silenciamiento de los transgenes de reprogramación

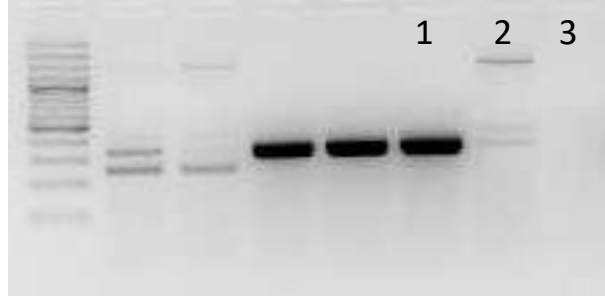
Integration

20/10/2016

pMXs(FlOctVPHASoxVP-Or)n4

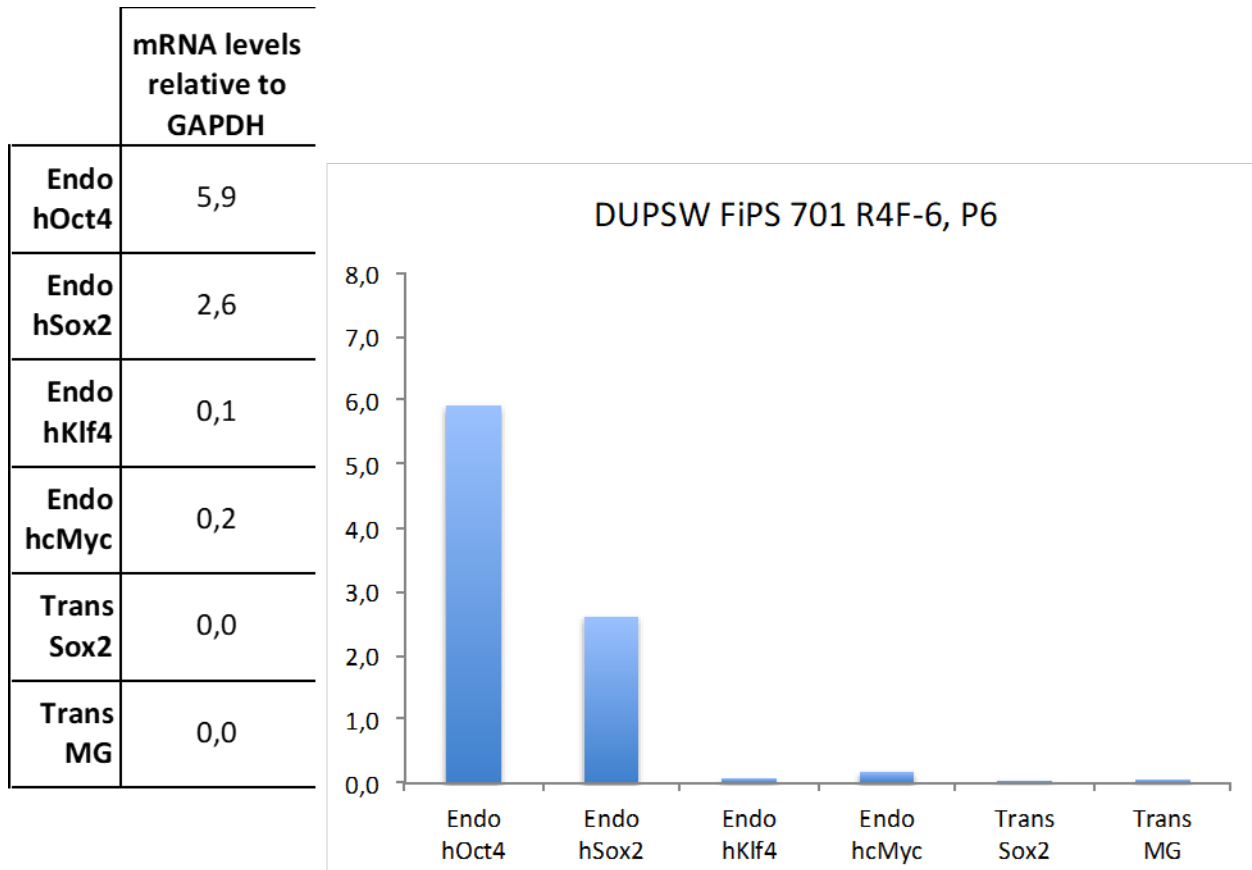


pMXs-KM-GFP



1. DUPSW FiPS 701 R4F-6, P6
2. Negative Control (non reprogrammed cells)
3. Negative Control (water)

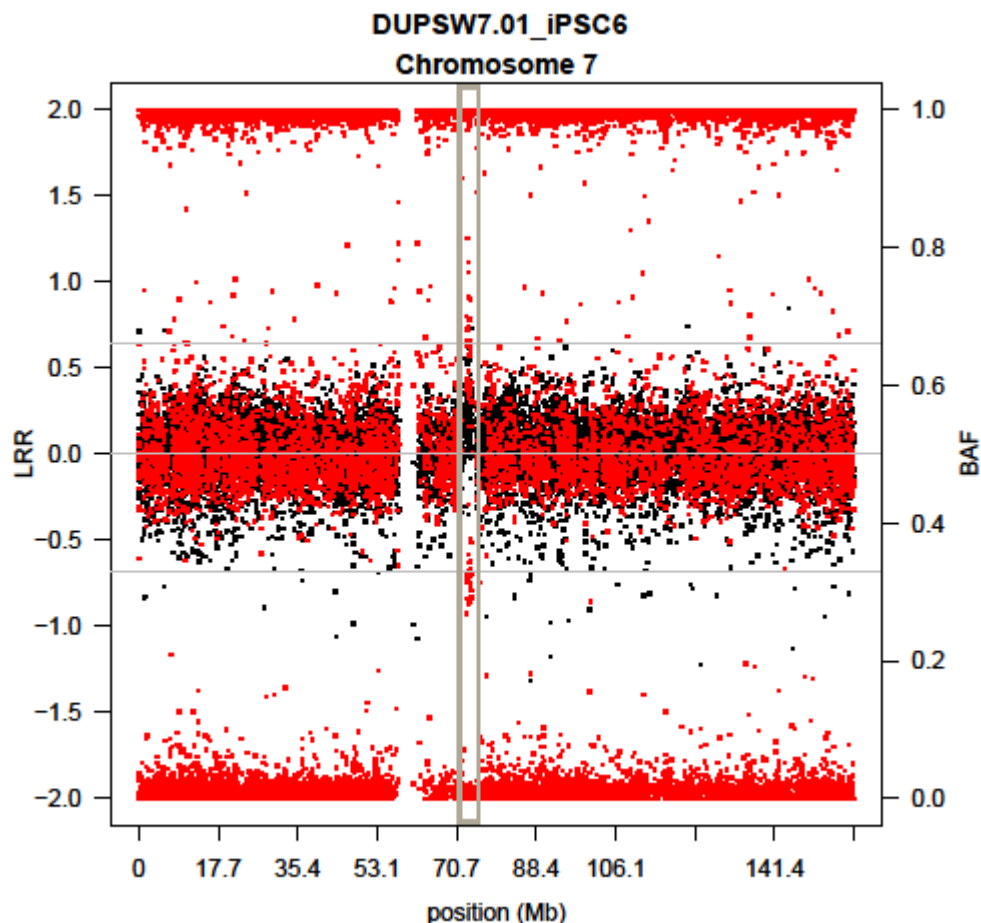
Análisis gPCR mostrando las integraciones genómicas de los genes utilizados para generar la línea



Silenciamiento de los transgenes de reprogramación. Análisis por Q-RT-PCR de los niveles de los niveles de expresión de los transgenes indicados. Se muestra expresión relativa a GAPDH

Anexo 7

Genotipado



SNP-array mostrando la presencia de la duplicación de la región 7q11.23 en la línea de hiPSC.

Anexo 8

Resultado Test de micoplasma

MYCOPLASMA TEST

14/12/2016



1. DUPSW FiPS701 R4F-6, p14
2. Negative control (water)
3. Positive control